



CANGAROO-III解像型大気チェレンコフ望遠鏡による
活動電波銀河Centaurus Aからの
TeVガンマ線の観測

Feb 23, 2005 ICEPP Symposium

- 1、宇宙線を観測
- 2、検出原理
- 3、CANGAROO-III telescopes
- 4、Centaurus A観測、解析
- 5、まとめ

宇宙線研究所
CANGAROO グループ
株木 重人

宇宙線の起源

宇宙線

Power-law \leftrightarrow Non-thermal origin

Energy density $1\text{eV}/\text{cm}^3$

Life $10^6 \sim 10^7$ years

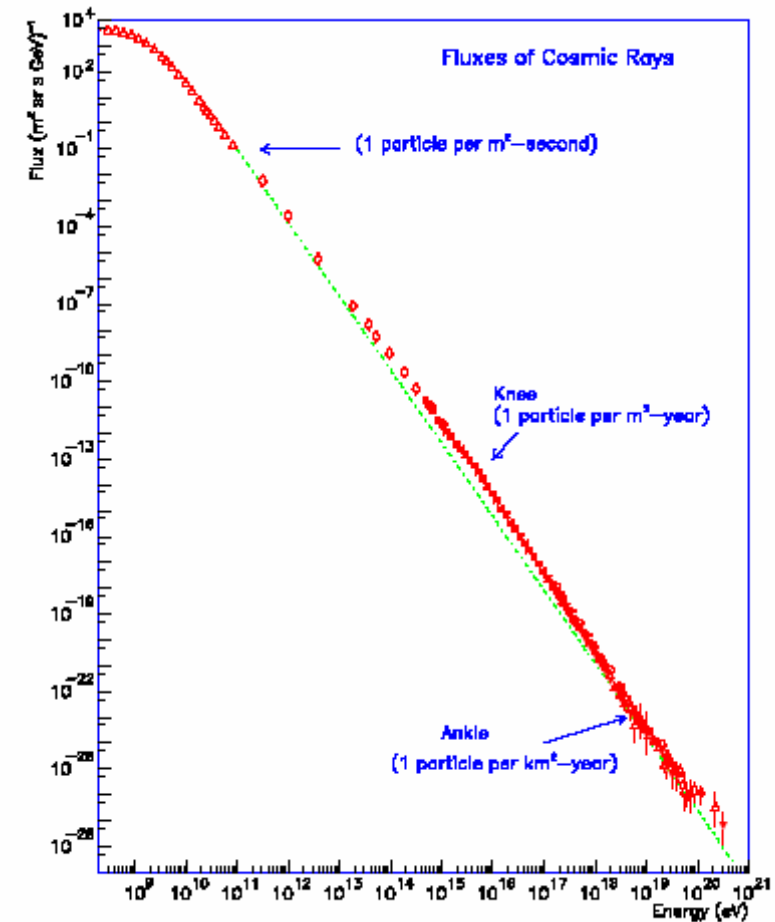
ガンマ線

高エネルギーまで加速された
電子、陽子

ガンマ線の発生

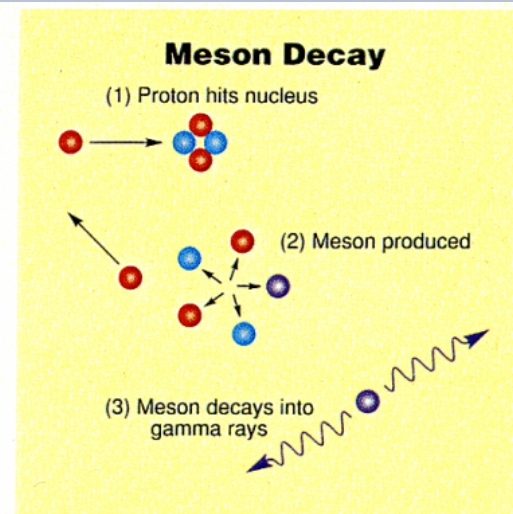
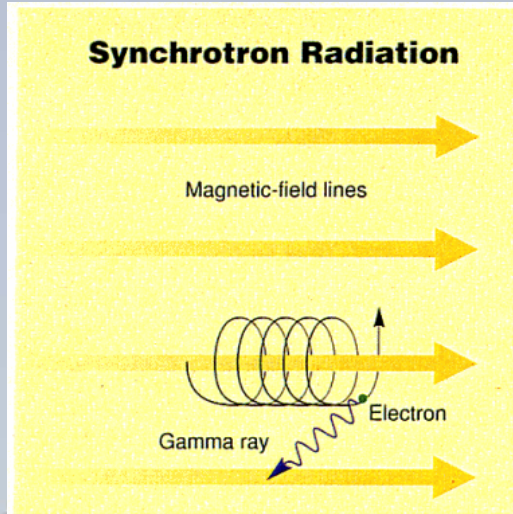
地球まで直進してくる。

我々の銀河での宇宙線スペクトル



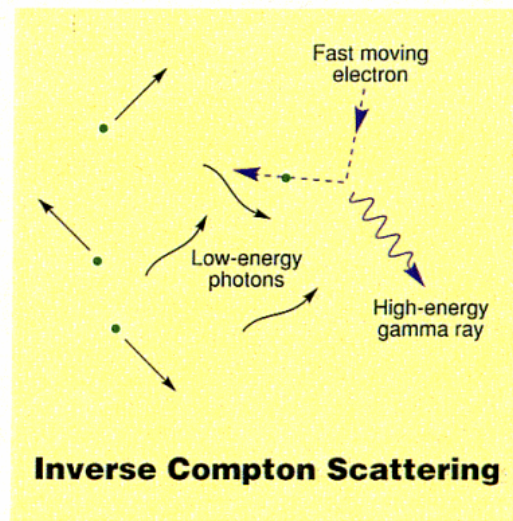
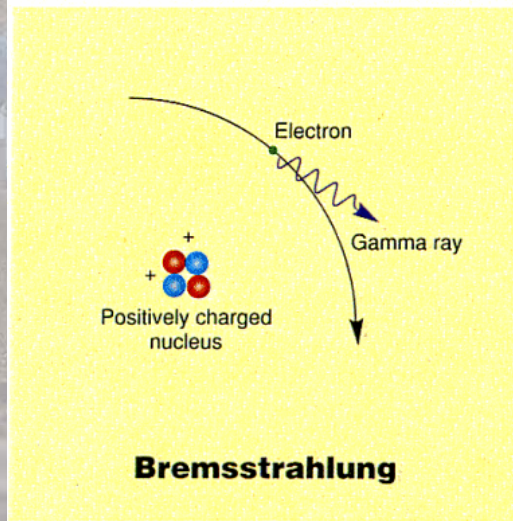
ガンマ線の放射機構 : 非熱的

High energy electron + magnetic field



High energy proton + matter

High energy electron + atomic electric field



High energy electron + photon field

Active Galactic Nuclei (AGN)

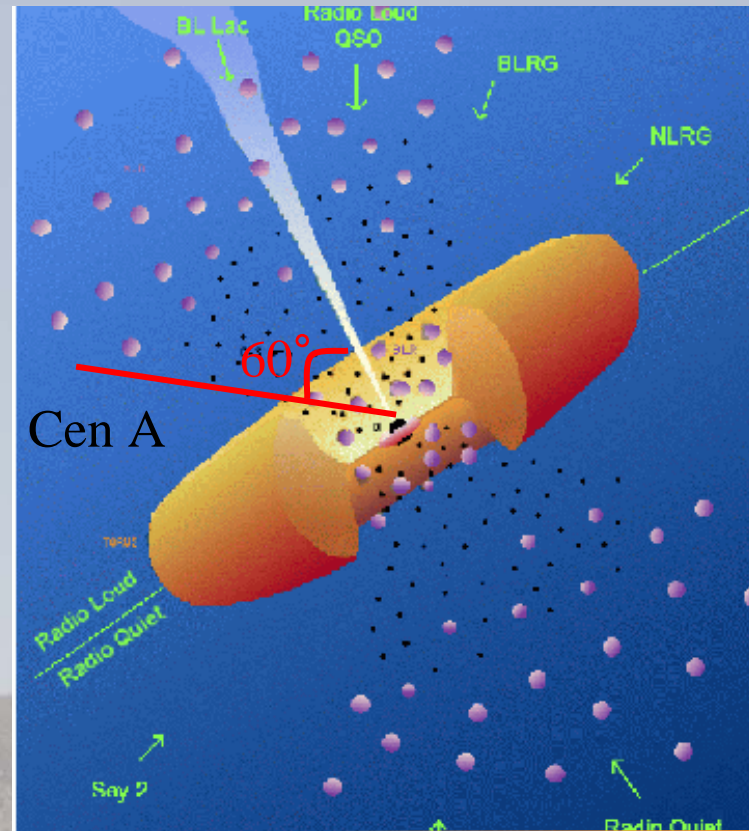
Galaxy 10% \Rightarrow AGN

- AGN - Time variation (1000sec)
- It is 100 or more times brighter than the star of the whole galaxy.
 - A massive black hole (MBH) is in a nuclei.

AGN 10% \Rightarrow Jet (Blazer)

- Jet - Radio lobe
- Hot spot
 - Knot

AGN 統一モデルによる分類



この統一モデルはX-ray 以下のエネルギーで良く合う。ではTeV領域ではどうか？

Gamma ray

Air shower

Detection of TeV gamma rays with Cherenkov telescopes

~ 10 km

- Shower maximum
Height : 10 km

- Cherenkov angle
 $\cos \theta = 1/n\beta$

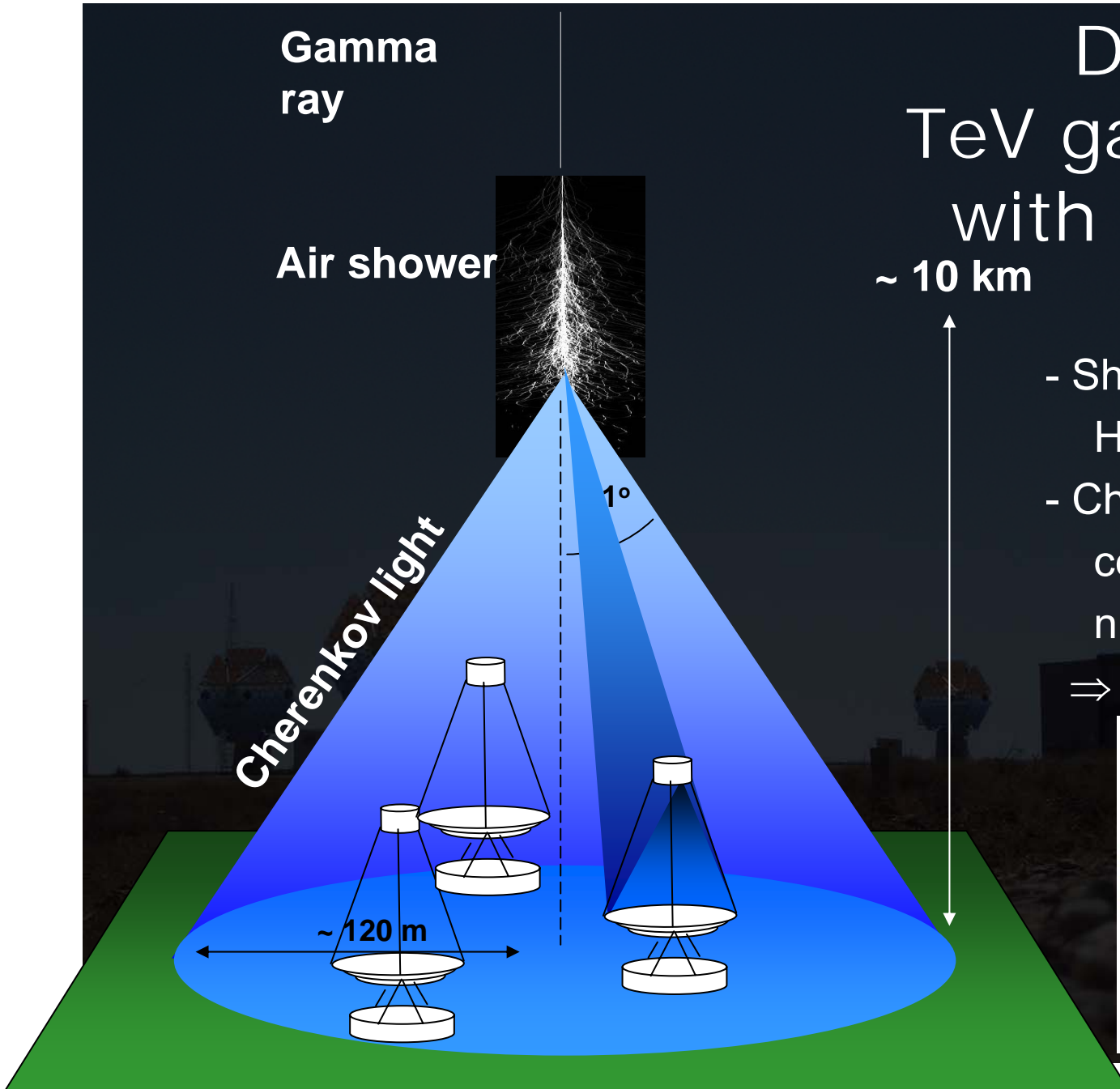
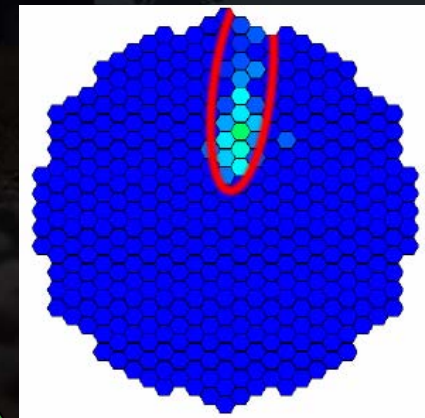
$n = 1.0001$ (0.3atm)

$\Rightarrow \theta = 0.8^\circ$

Cherenkov light

1°

~ 120 m

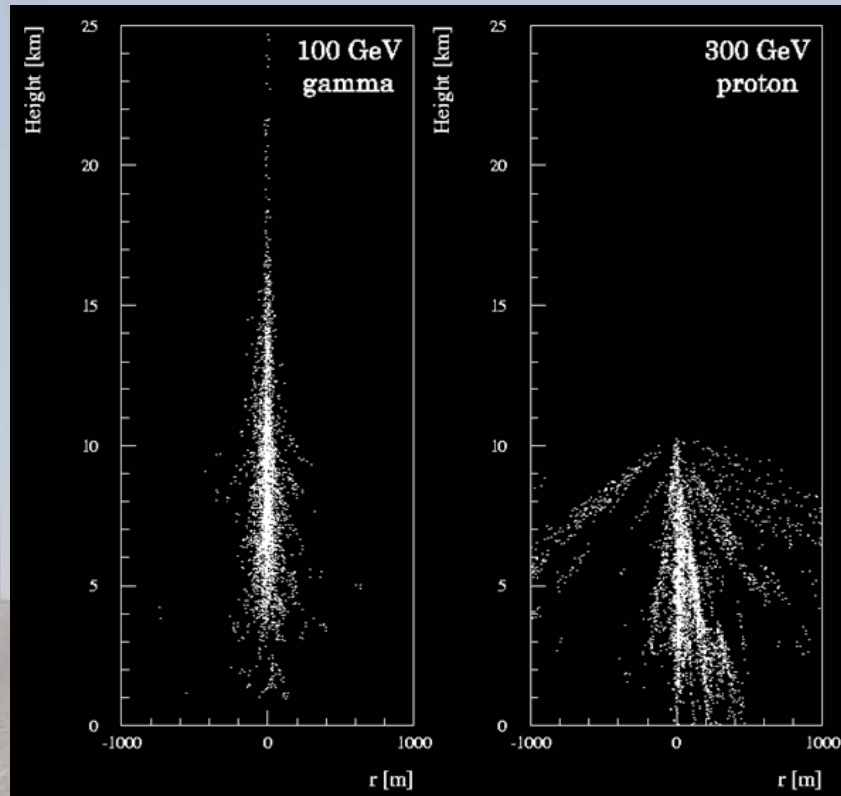


Cherenkov image

Gamma

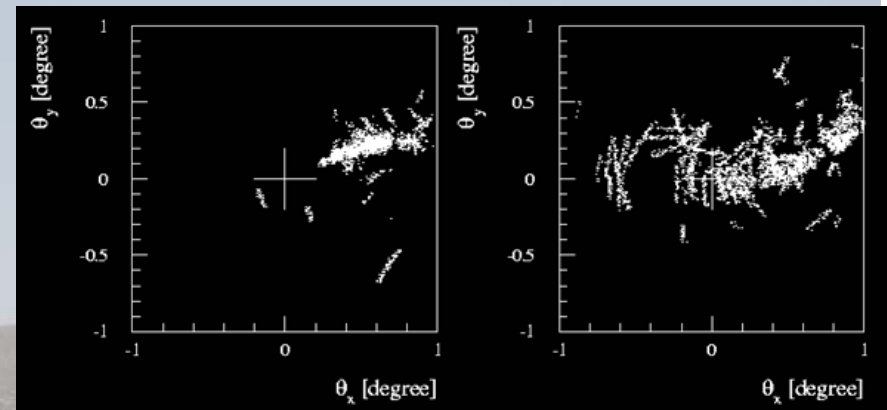
Proton

カメラ面上でのシャワーイメージ
(MC Simulation)



Gamma

Proton

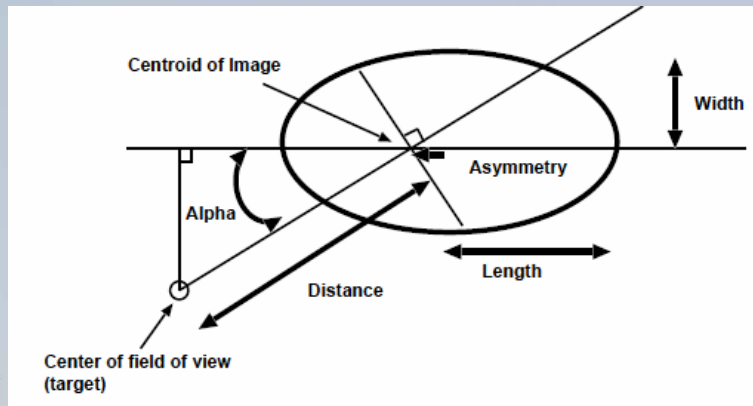


Sharp

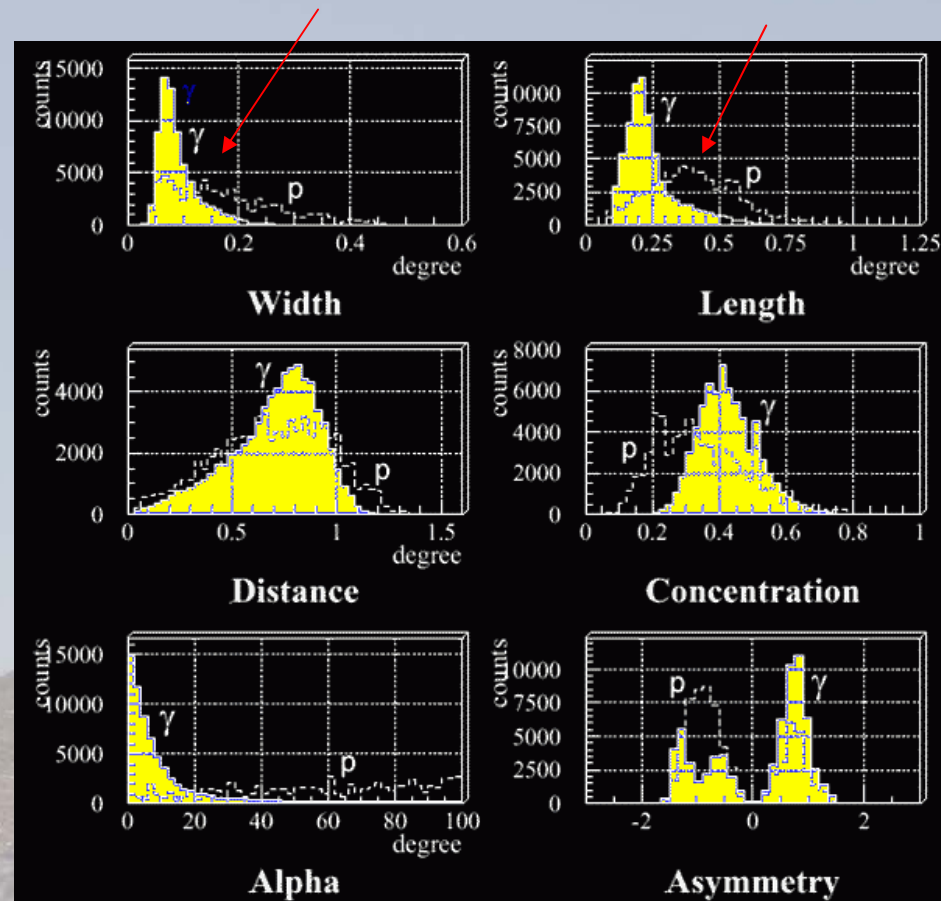
Diffuse

Hillas parameters

シャワーパラメータ



Protonに比べgammaはイメージがシャープ

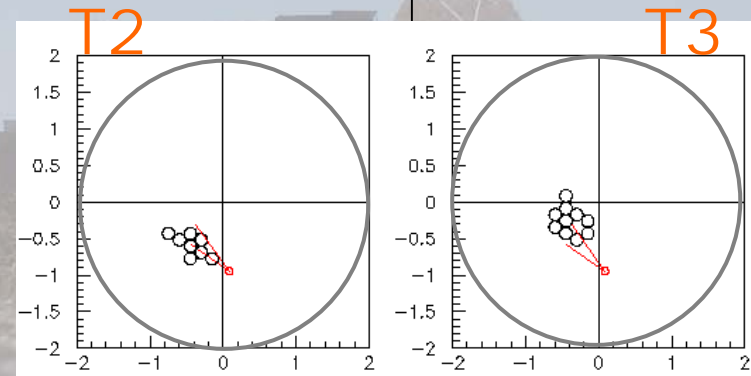
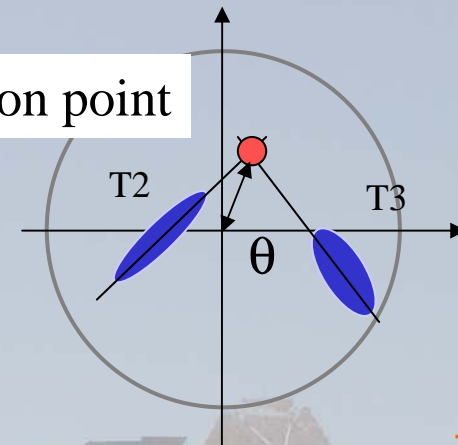


Stereo analysis

1. We can determine the direction of gamma-rays event by event.
2. We can explore the spatial structure of a gamma-ray objects as well as discriminate background cosmic-ray showers more efficiency.
3. The energy resolution of gamma rays has been improved the production height of Cherenkov light

- Shower reconstruction

Intersection point



“CANGAROO”

=

Collaboration of **Australia** and **Nippon** for a
Gamma Ray Observatory in the **Outback**

*Observation of high-energy
gamma-rays from celestial
objects with imaging atmospheric
Cherenkov telescopes in
Woomera, Australia*

Woomera, South Australia

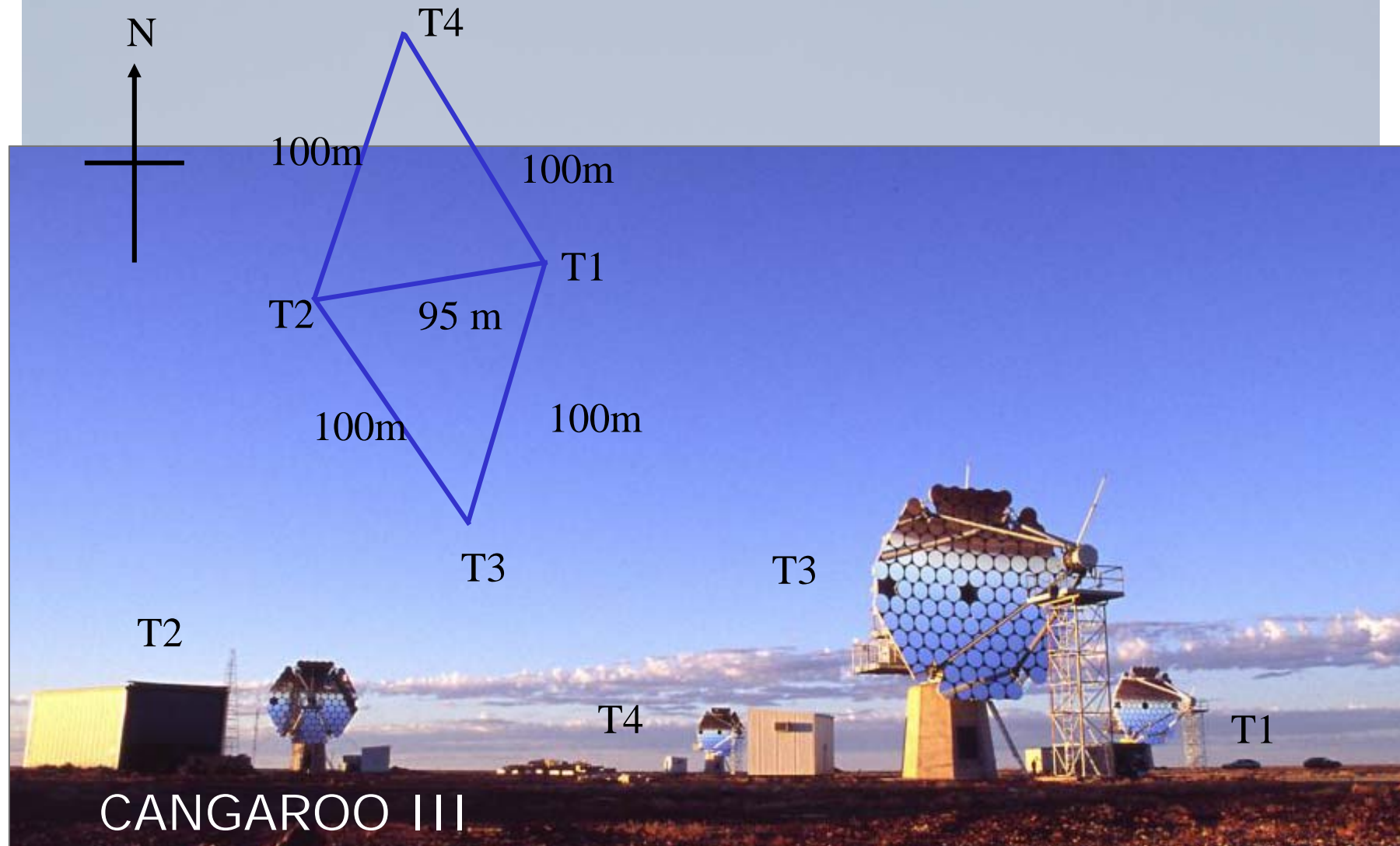
136°.46'E, 31°.06', 220m a.s.l



CANGAROO team

- University of Adelaide 
- Australian National University 
- Ibaraki University 
- Ibaraki Prefectural University 
- Kanagawa University 
- Konan University 
- Kyoto University 
- Nagoya University 
- National Astronomical Observatory of Japan 
- Institute of Physical and Chemical Research 
- Shinshu University 
- Institute for Space and Aeronautical Science 
- Tokai University 
- Tokyo Institute of Tehnology 
- Yamagata University 
- Yamanashi Gakuin University 

CANGAROO-III Cherenkov telescopes



Reflector



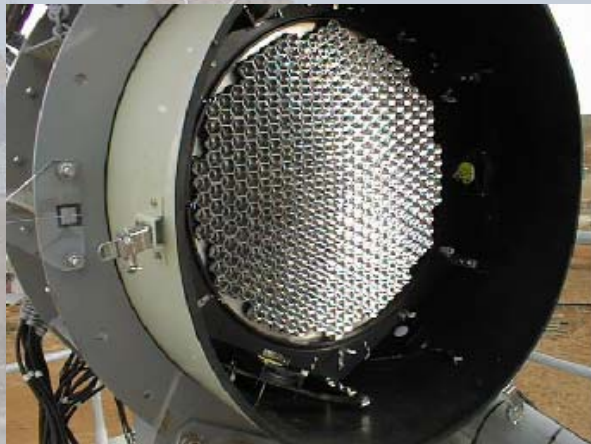
Frame	: parabolic
Diameter	: 10.4 m
Focal length	: 8 m
F	: 0.77
Total collecting area	: 57.3 m ²
Number of segments	: 114
Mirror diameter	: 80 cm
Mirror shape	: spherical
Mirror material	: GFRP

Camera

PMT (R3479, HPKK)



Camera



Light guide (LG)



Camera design

- Aluminum alloy
 - Weight 110kg
 - Diameter 800mm
 - Length 1000mm
 - 427 pixels
 - Field of view 4°
 $0.168^\circ/\text{pixel}$
 - Hexagonal arrangement
- The characteristics of all PMT modules were calibrated individually.
- The linearity is up to 200 p.e.
- The deviation of uniformity is 11%.
- Light correction efficiency is 2 times up.

Active Galaxy Centaurus A

About Centaurus A

Radio galaxy

Elliptical

Fanaroff-Riley type I

Misaligned BL Lac ($\sim 60^\circ$)

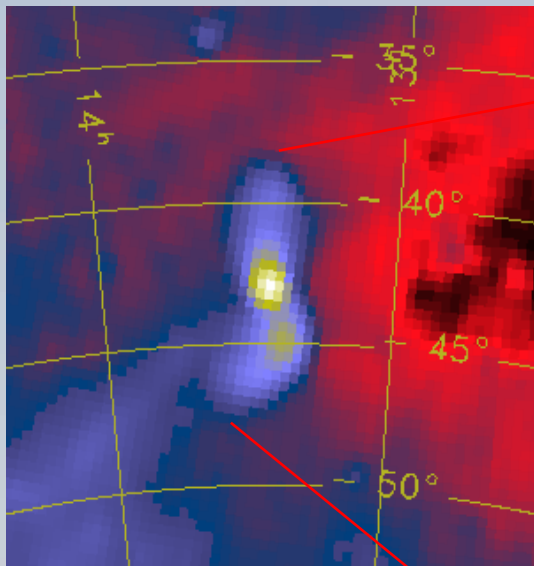
Distance 3.5 Mpc

Parameter	value
α (J2000)	201° 36 50.633
δ (J2000)	-43° 01 19.125
Galaxy Size	18 × 14 arcmin
Radio Source size	8 × 4 degrees
Distance	3.5 Mpc
Apparent Magnitude	7.96 mag
Total galaxy mass	$(4 \pm 1) \times 10^{11} M_\odot$
Outer radio lobe	250 kpc
Inner radio lobe	5 kpc
Inner radio jet	1.35 kpc
Relativistic nuclear jet	1.65 pc
Radio core	0.008 pc
Dust lane radius	7 kpc

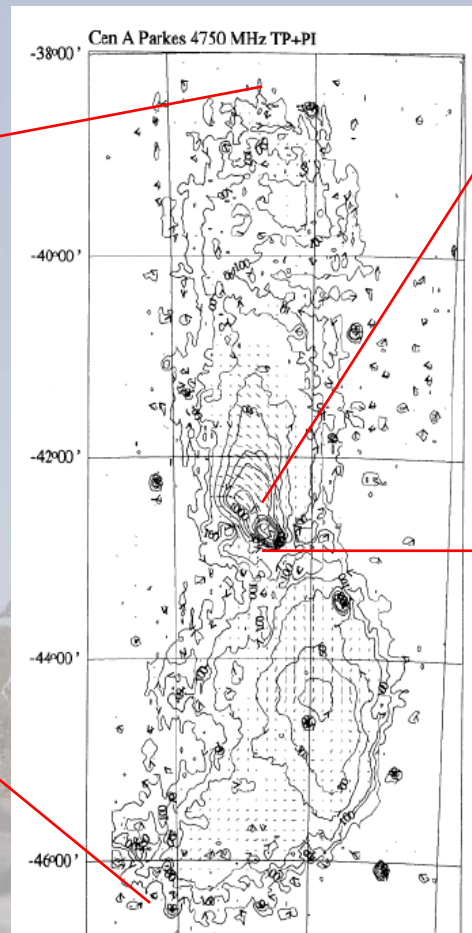


The Optical image of Centaurus A
(ESO/MPG 2.2-m telescope with WFI)

Radio Structure

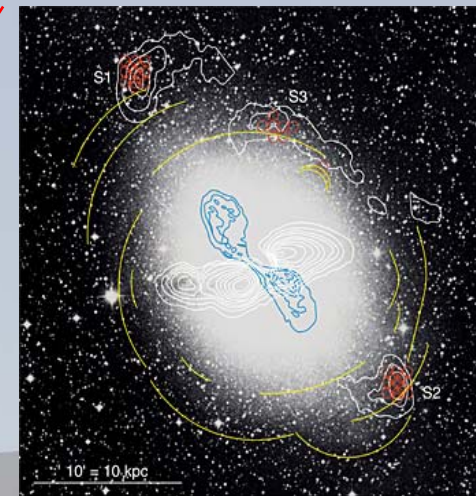


Outer lobes (408MHz)
(20°×20°, Haslman 1982)



Outer lobes 6.9cm(4.75GHz)
(5°×9°, Junkes 1993)

30 kpc ~ 0.3°

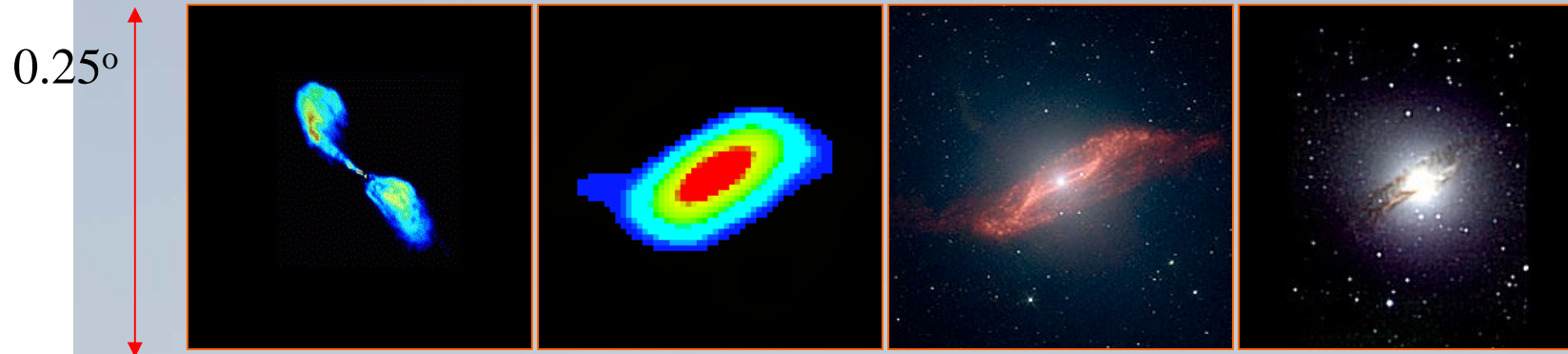


Blue : Radio jet
Red : CO
White : Atomic hydrogen gas
Yellow : shell
(32' ×32', Charmandaris 2000)

Multiwave images

Image Size = 15×14 arcmin

(今回は中心部分の観測を行った。)



Radio
VLA(6cm)
4.9GHz

Far infrared
IRAS
60-100 μ m

Mid infrared
Spitzer
3.6 to 8 μ m

Near infrared
2MASS
1.2-2.17 μ m

One
event
resolution

CANGAROO-III
Angular
resolution



Gamma

X-ray
Chandra
1-3 KeV

Ultraviolet
GALEX
130-300nm

Visible
DSS
405-645nm

Observation

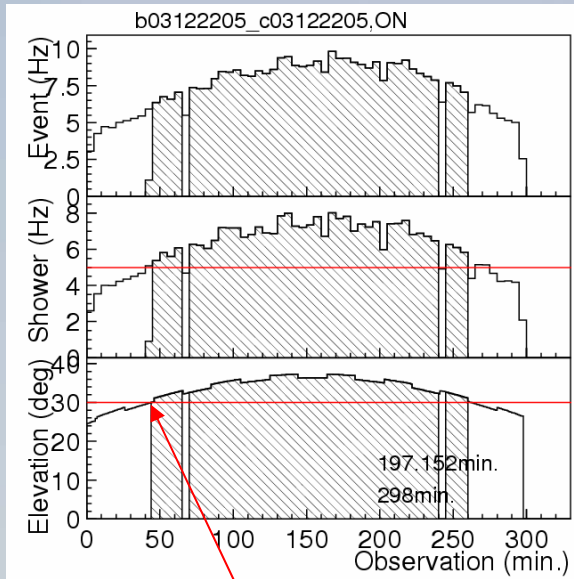
今回の観測では2台の望遠鏡のステレオ観測を行った。
Three fold coincidence での観測は行っていない。
2台でのステレオイベントはOFFラインで解析する。

Centaurus A

Observation date	Observation time (T2-T3)	Observation time (T2-T4)	Average zenith angle
15 – 28 Mar 2004	603 min	414 min	17 degree
15 – 28 Apr 2004	444 min	468 min	17 degree
Total	1047 min	882 min	

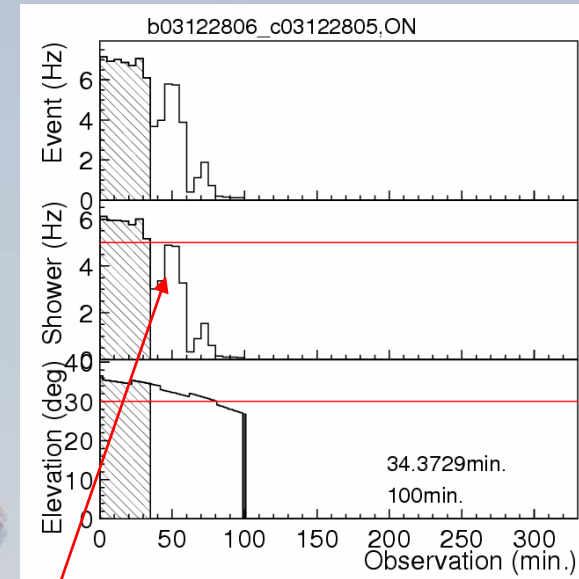
Data reduction

Good conditon



Elevation cut

Bad condition



Cloud cut

Event rate

Shower rate

Elevation

Analysis method : Likelihood cut

ADC 5 p.e. <
-25 < TDC < 25 nsec
Scaler Top 40
Clustering : T6a
Sum p.e. : 0 p.e. <
Distance

0 < distance < 1.9

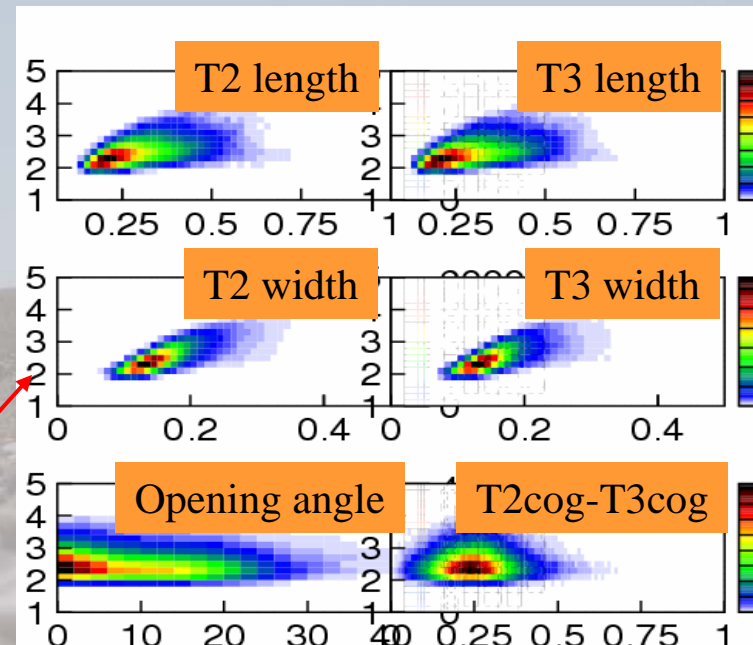
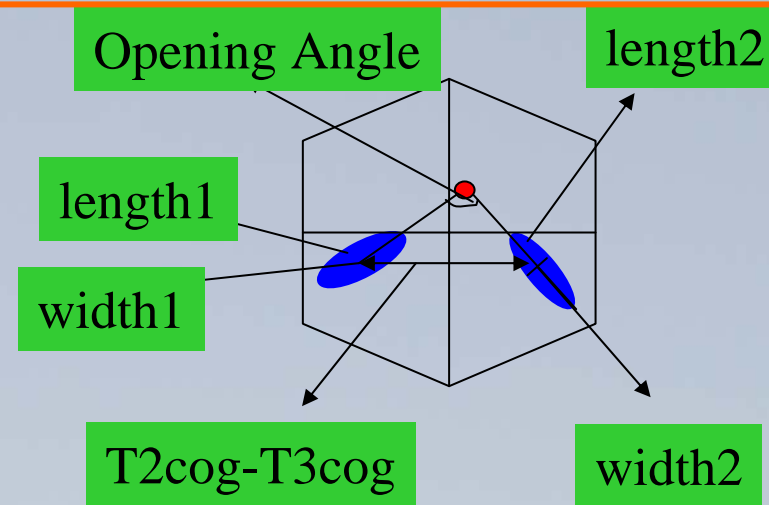
Likelihood parameters

length, Width,

Opening Angle, T2cog-T3cog

L ratio cut 0.9 <

Probability density function



Likelihood analysis

Likelihood parameters

$$L(\text{gamma-ray}) = \text{PDF}(\text{length1}(g)) * \text{PDF}(\text{width1}(g)) \\ * \text{PDF}(\text{length2}(g)) * \text{PDF}(\text{width2}(g)) \dots$$

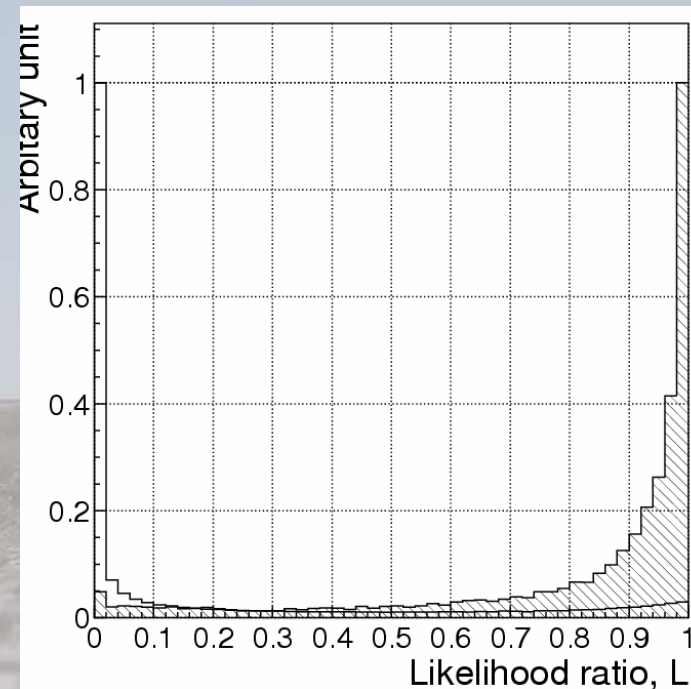
$$L(\text{proton}) = \text{PDF}(\text{length1}(p)) * \text{PDF}(\text{width1}(p)) \\ * \text{PDF}(\text{length2}(p)) * \text{PDF}(\text{width2}(p)) \dots$$

$$L_{\text{ratio}} = \frac{L(\text{gamma-ray})}{L(\text{gamma-ray}) + L(\text{proton})}$$

PDFのNormalizationが不適



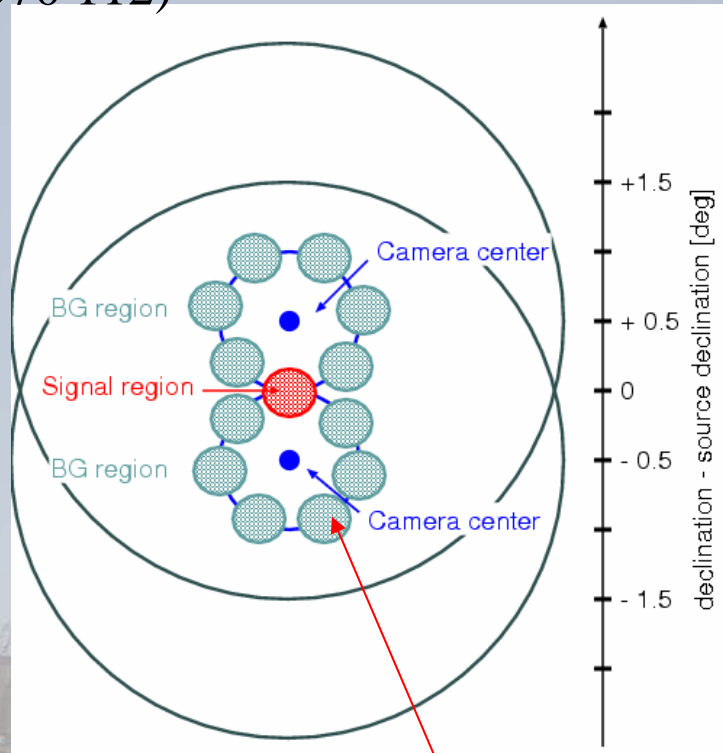
確率みたいな量



Hatched : MC
Blank : OFF

BG region selection

Wobble mode
(Aharonian, A&A 370 112)



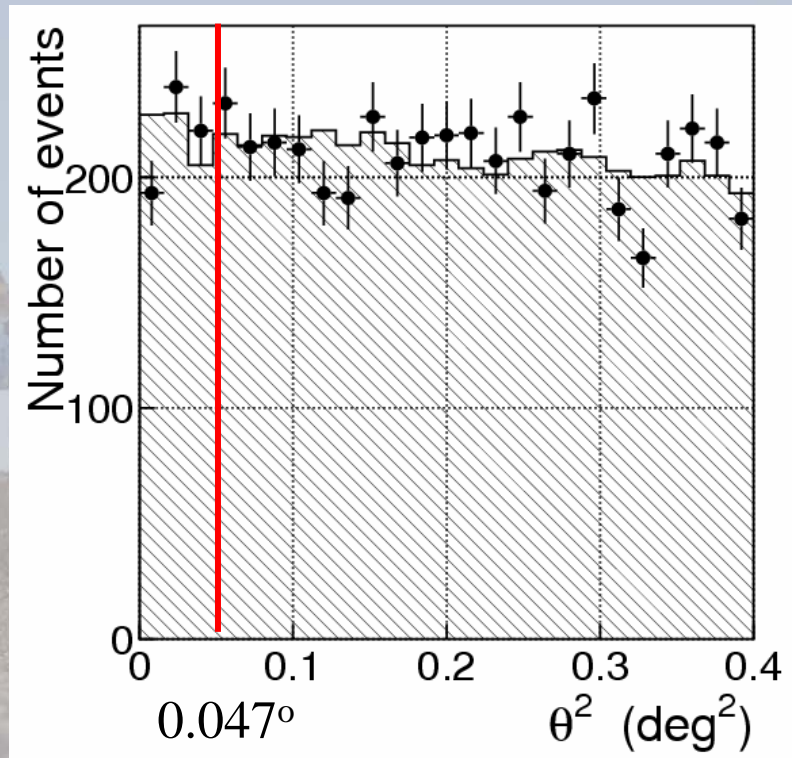
Number of BG region is 6.

These circle radius:

0.217° deg ($\theta^2=0.047$)

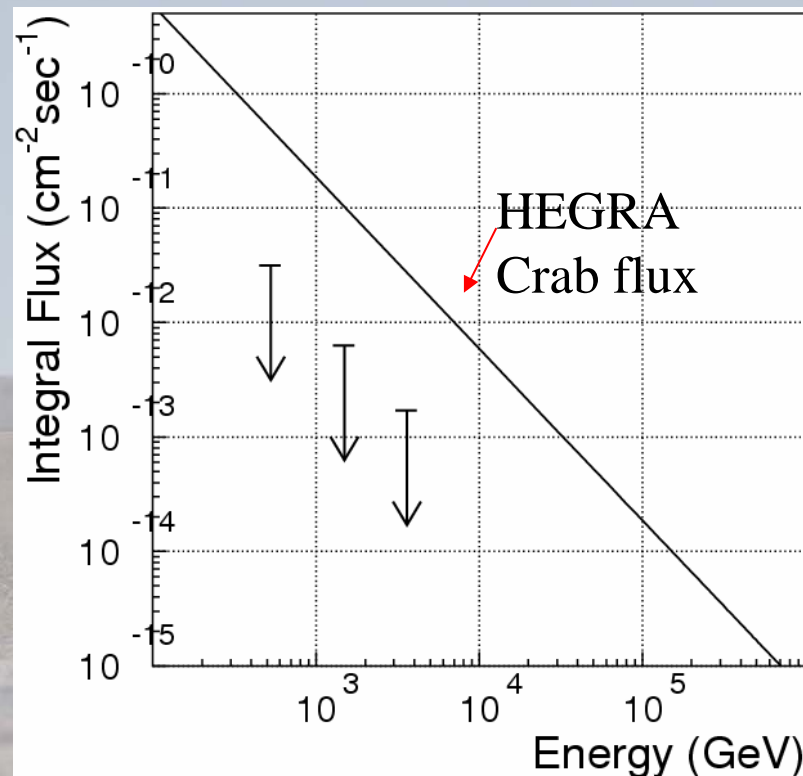
Centaurus A result

θ^2 distribution



Integral Flux : 2- σ upper limit

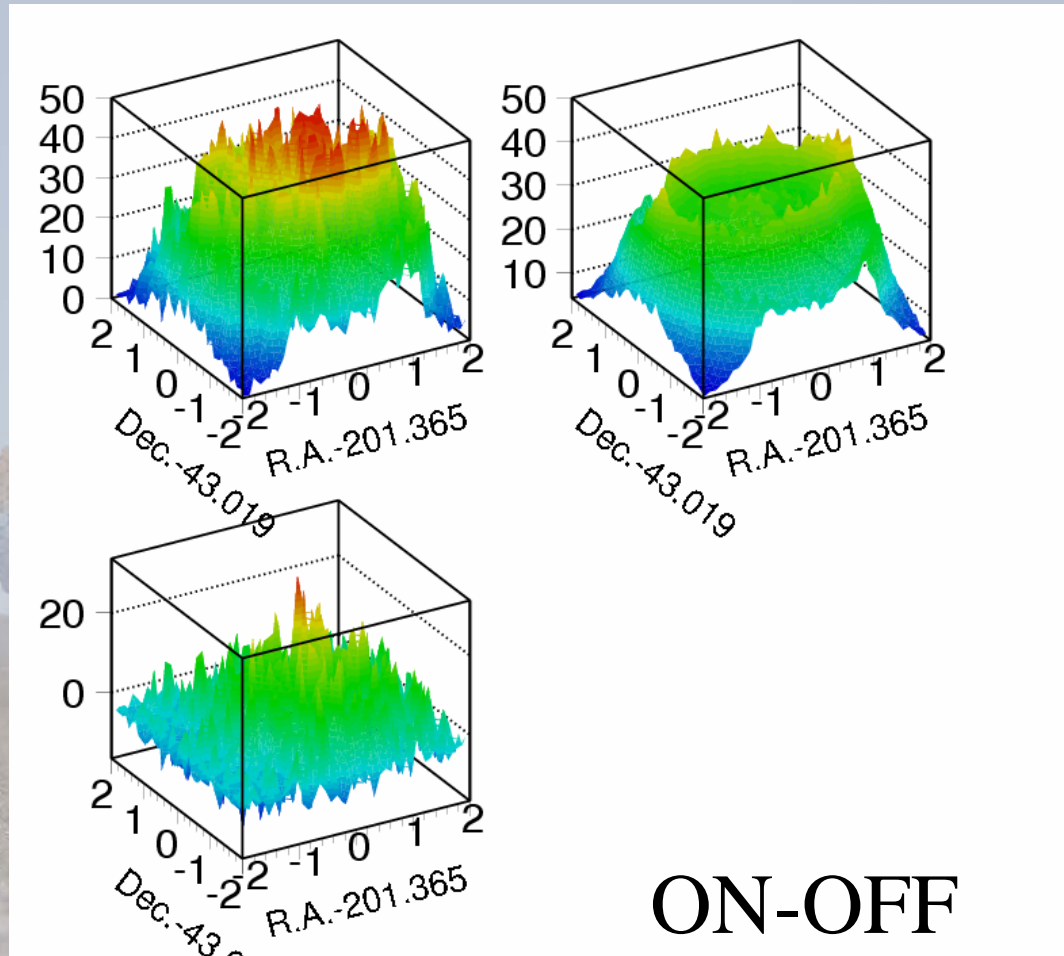
Energy bin (GeV)	530	1490	3600
2 σ upper limit flux ($\times 10^{-11} \text{cm}^{-2} \text{sec}^{-1}$)	0.31	0.063	0.017



6% Crab Flux

Centaurus A arrival point map

ON
 $L > 0.9$

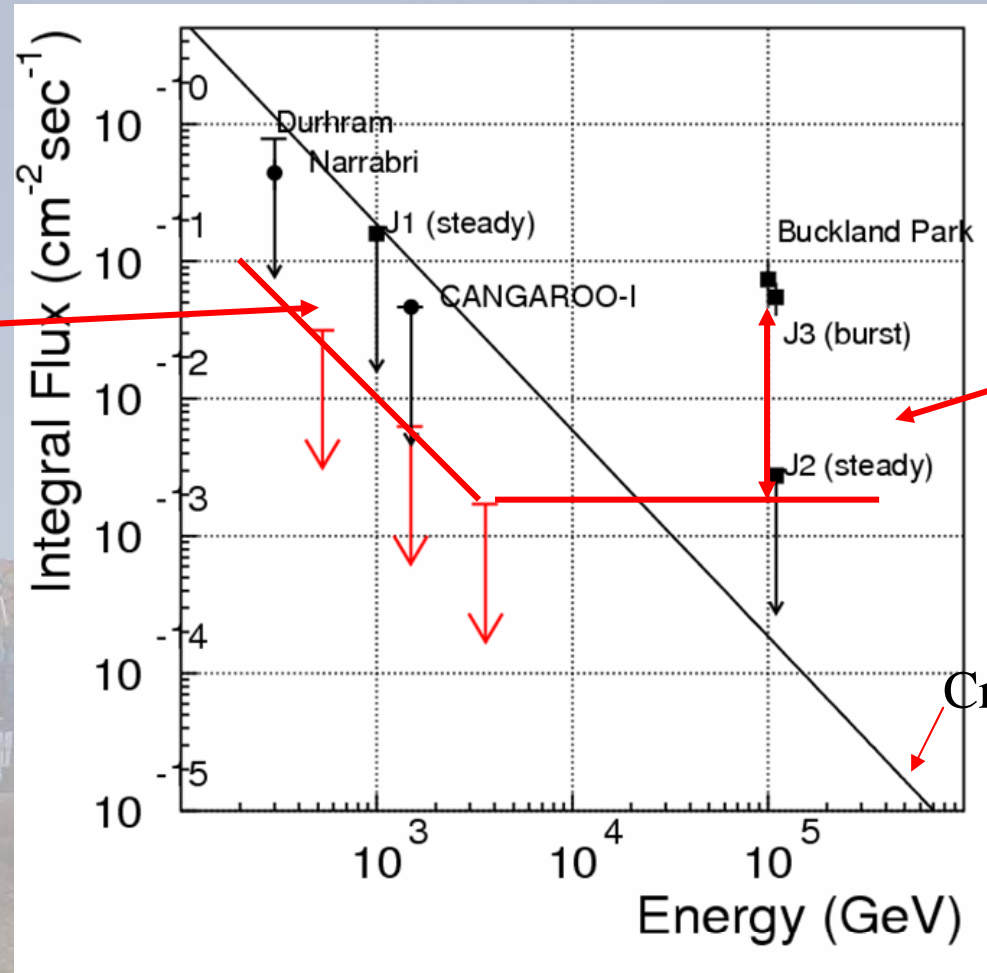


Proton
 $L < 0.2$

ON-OFF

Comparison with the past data

0.1 Flux



0.01 Flux ?

Our limit is 10 times lower flux than previous result.

Difficulties on LBL assumption

Assume SSC model

Typical AGN value



$$\nu_c / \nu_s \sim 10^8$$

It differs from our Galaxy too much.
 Activityが我々の銀河よりも大きいのに
 TeV領域まで加速が行われていないのか？
 むしろTeV領域でのガンマ線はあるべきで、
 CANGAROOはさらにsensitivityを上げて行く
 必要がある。

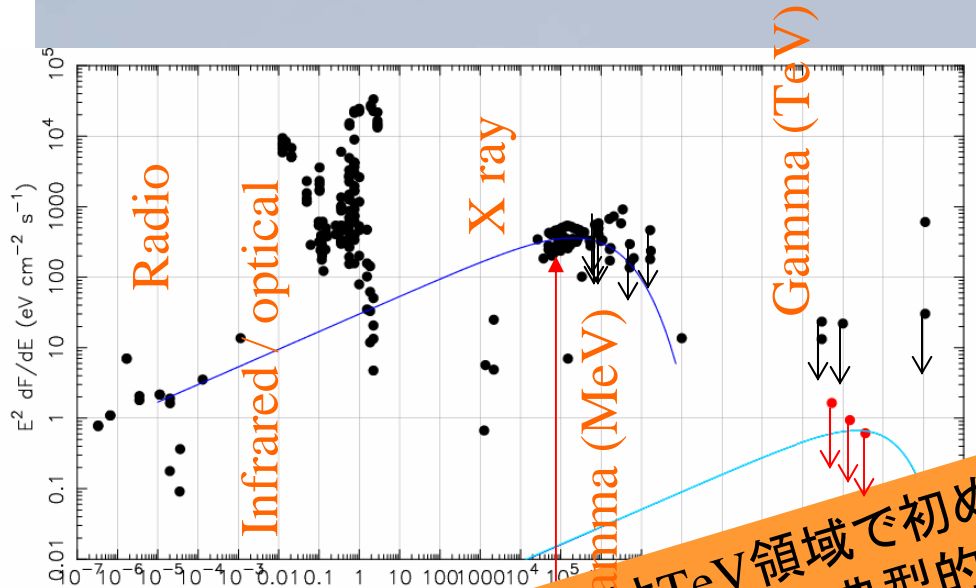
Synchrotron
peak

IC peak

We can not explain LBL physics.

HBL model ?

Possibility on HBL assumption



Typical AGN model

$$\nu_c / \nu_s \sim 10^8$$

$$L_c / L_s \sim 1$$

But Cen A...

$$1/580 \ll 1$$

Cen AはTeV領域で初めて観測された天体 → しかし典型的なAGNと大きく異なるように見える。

$$\frac{L_{ssc}}{L_{sync}} = \frac{U_{sync}}{U_B}$$

$$U_{sync} = 4\pi R^2 c \delta^4 U_{sync}$$

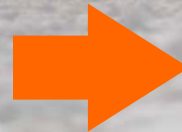
$$R = 12 \text{ kpc}$$

$$U_{sync} \sim 6 \text{ eV} / \text{cc}$$

$$U_B > 580 U_{sync} = 3500 \text{ eV} / \text{cc}$$

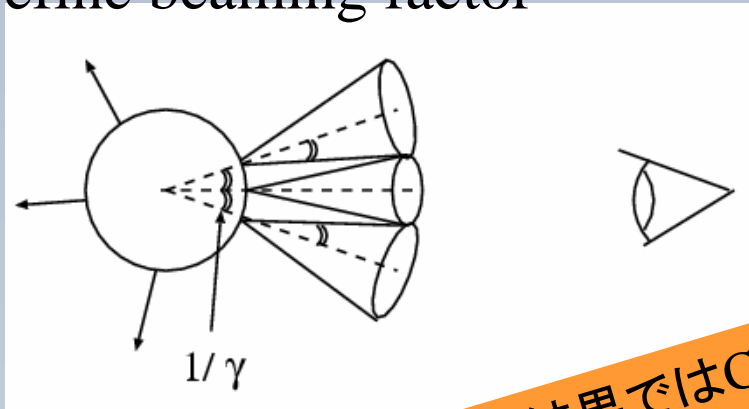
$$U_B = 1/8\pi B^2$$

$$B > 250 \mu\text{G} \times (R/12 \text{ kpc})^{-1}$$



Relativistic beaming effect

Cen Aで信号が見えないのはジェットの角度の問題か？
Define beaming factor



$$\delta = \{\gamma (1 - \beta \cos\theta)\}^{-1}$$

Fluxはしかし今回の結果ではCen Aは
Mrk501 TeV領域では検出できなかった。
Cen AはAGNの統一モデルには属さないかもしれない。

典型的なAGN、 $\gamma \sim 5$ 、 $p \sim 3$ を用いると、

$$1.3 \times 10^{-4} \text{倍}$$

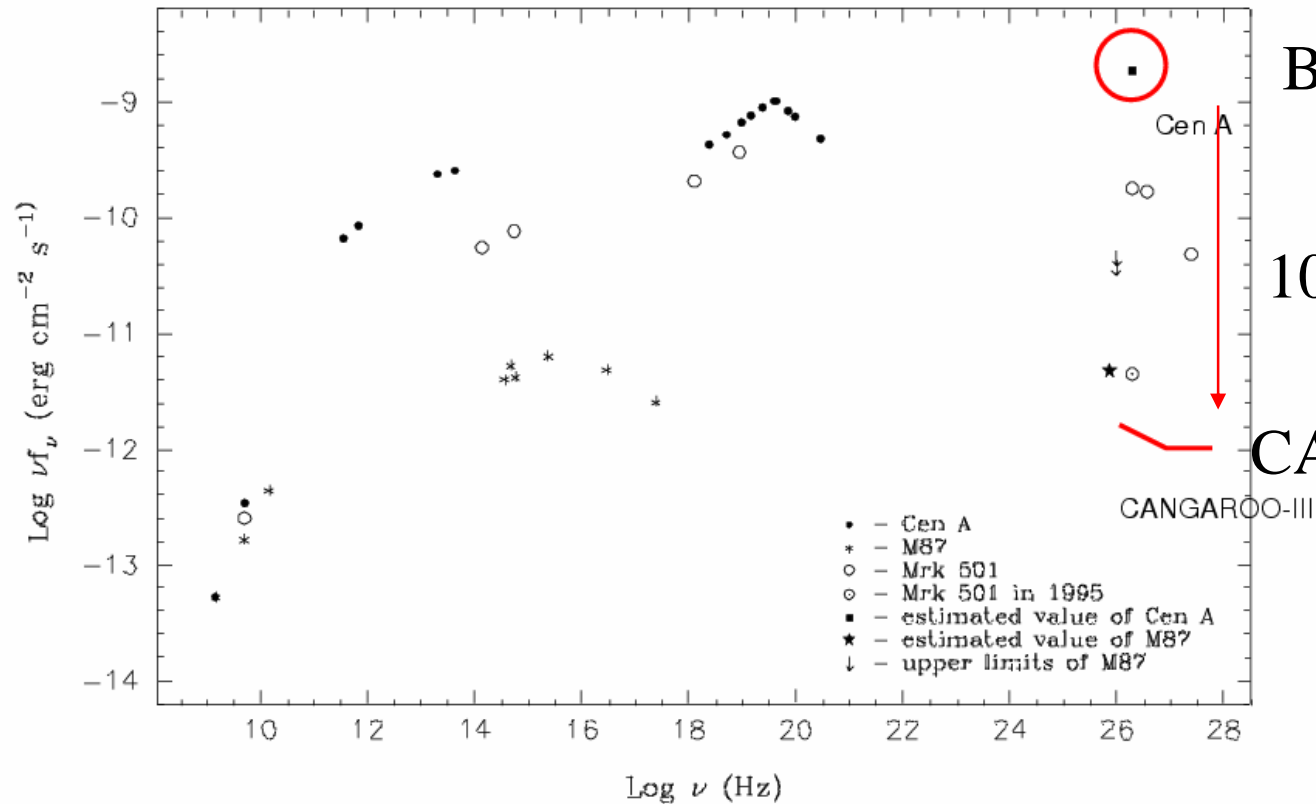
だけ変化する。

Mrk501がCen Aと同じ距離にあると仮定すると、

$$(\text{Mrk501}/\text{CenA})^2 = (0.034/0.0008)^2 = 1.8 \times 10^4$$

なのでCenAのように 60° 傾いていても信号が見えるはずである。

Estimation of Flux



Bai estimation

1000 times lower than estimation

CANGAROO-III

Bai, J.M. et al 1999

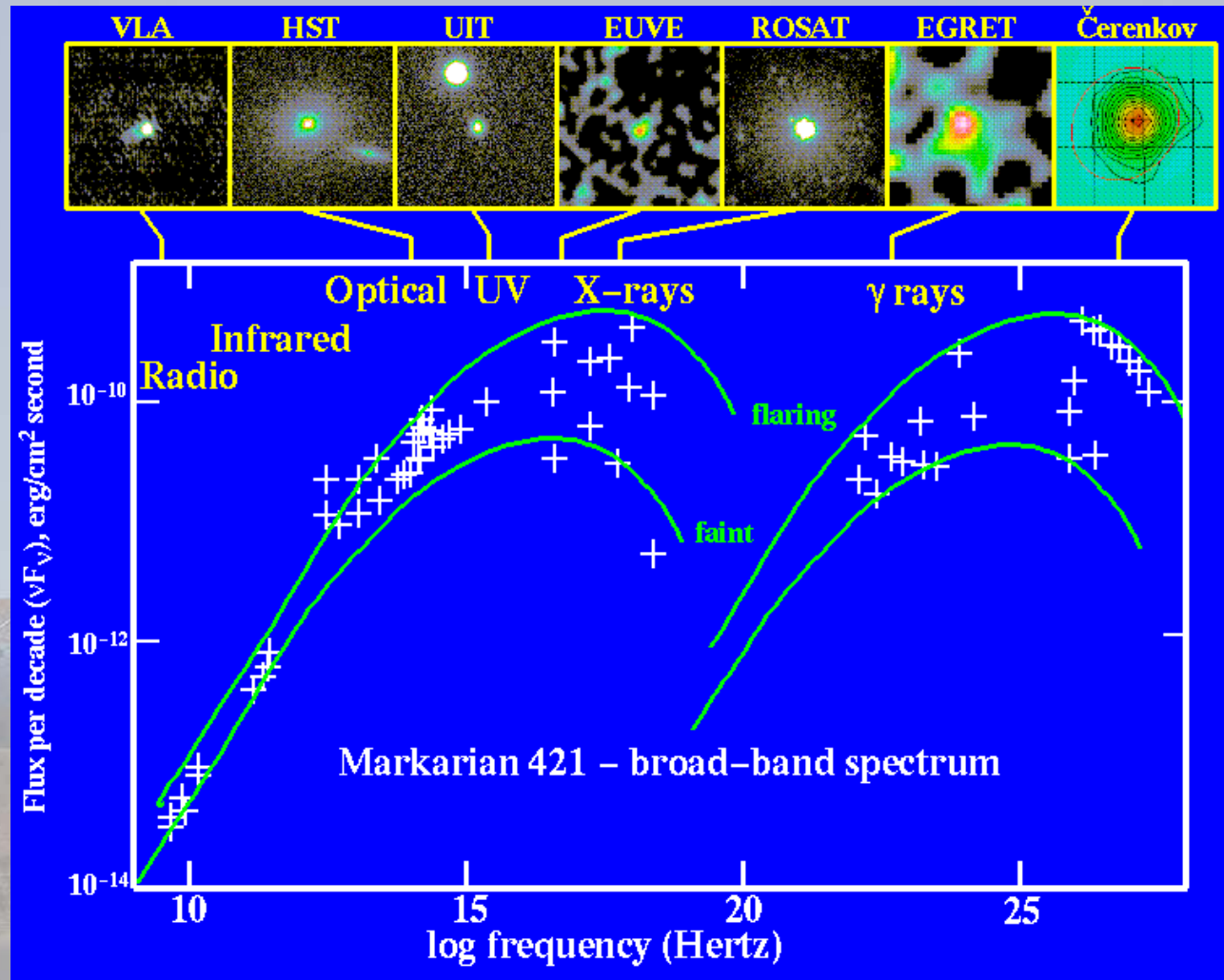
$$F(0.25-30\text{TeV}) = 6.4 \times 10^{-9} \text{ erg cm}^{-2} \text{ s}^{-1} : \text{ Bai}$$

$$F(530\text{GeV} <) = 2.6 \times 10^{-12} \text{ erg cm}^{-2} \text{ s}^{-1} : \text{ CANGAROO-III}$$

Conclusion

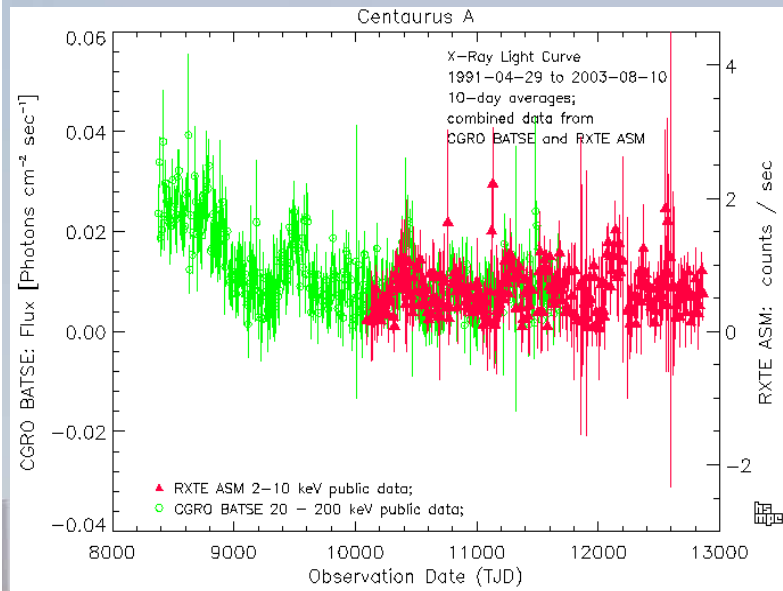
- ・ 我々はCANGAROO-III望遠鏡を用いて活動電波銀河 Centaurus Aをステレオ観測した。
- ・ CANGAROO-IIIでは望遠鏡を3台増設し、ステレオ観測を可能にした。
その結果エネルギー閾値が500GeVで角度分解能は 0.2° となった。
- ・ 2次元Likelihoodを用いて解析を行った結果、有意な信号は検出できなかった。
1050分の観測で $0.31 \times 10^{-11} \text{cm}^{-2} \text{sec}^{-1}$ の 2σ の上限値をつけた。さらにHBLである場合、
$$L_c/L_s < 1/580 < 1.$$
$$U_B > 580 U_{\text{sync}} = 3500 \text{eV/cc}$$
$$B = 250 \mu \text{G} (R/12 \text{kpc})^{-1}$$
の制限をつけることができた。
この観測期間では大きなフレアは観測されず、TeV領域での変動もquietであった。

Mrk 421の時間変動



Cen Aの時間変動

Cen Aの時間変動



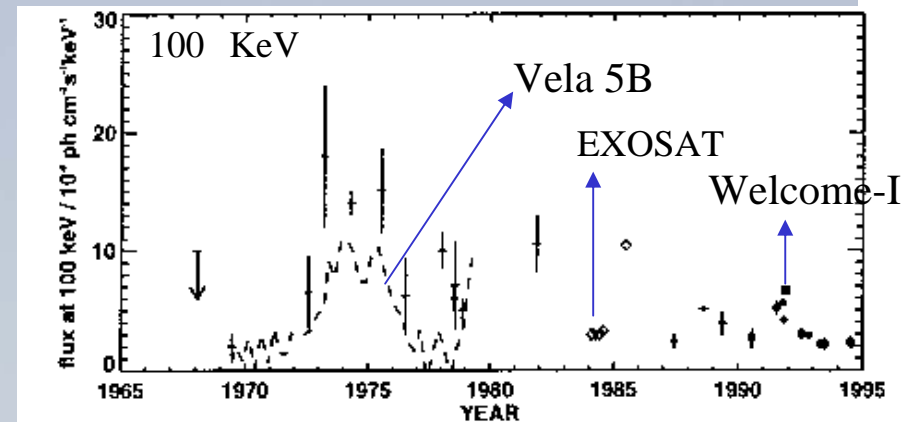
1991-04-29 ~ 2003-08-10のデータ

Green: BATSE

1991-04-29 ~ 2000-05-25(TJD11690)

Red : RXTE ASM (~2003~08-10)

Cen Aの長期的な時間変動



70年代に大きなburstが起きていたと考えられる。

1993からの4年間のlow stateの時期はRXTE ASMと結果が重なる。

Bond et al 1996

Cen Aの過去のFluxの変化

Radio
10.7~ 90 GHz

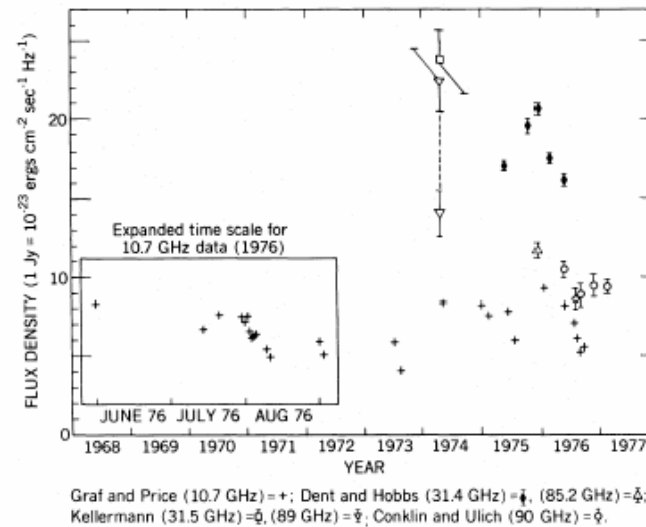


FIG. 1.—Radio emission from the nucleus of Cen A. Data taken from Price and Stull 1973, Stull and Price 1975, Dent and Hobbs 1973, Kellermann 1974, and current observations.

X ray
2~6 KeV

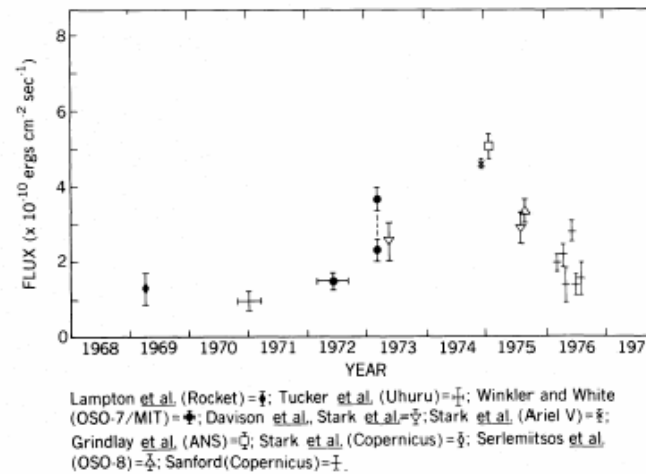


FIG. 2.—History of Cen A 2-6 keV X-ray flux. Data taken from Lampton *et al.* 1972, Tucker *et al.* 1973, Winkler and White 1975, Davison *et al.* 1975, Stark *et al.* 1976, Grindlay *et al.* 1975b, Serlemitsos *et al.* 1975, Sanford 1976.

Beall 1978

Crab Analysis

Crab

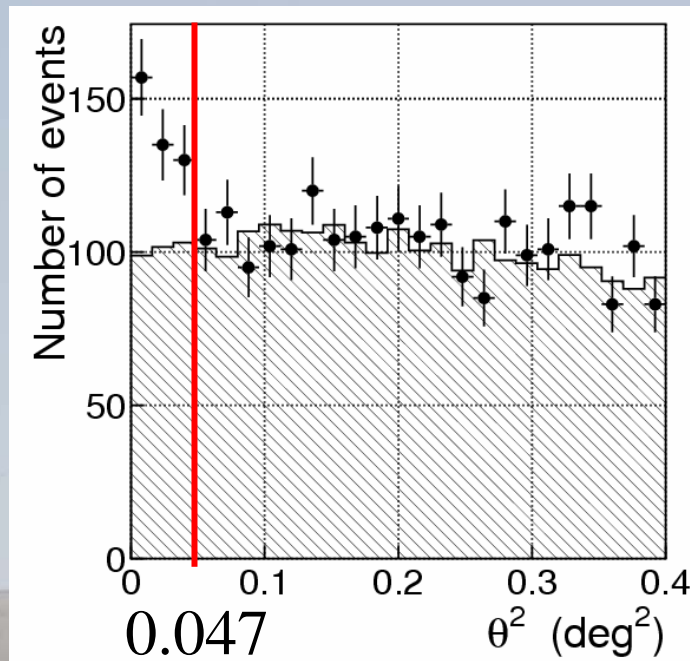
Observation date	Observation time (T2-T3)	Average zenith angle
15 – 28 Dec, 2003	1215 min	62 degree



Likelihood : Result

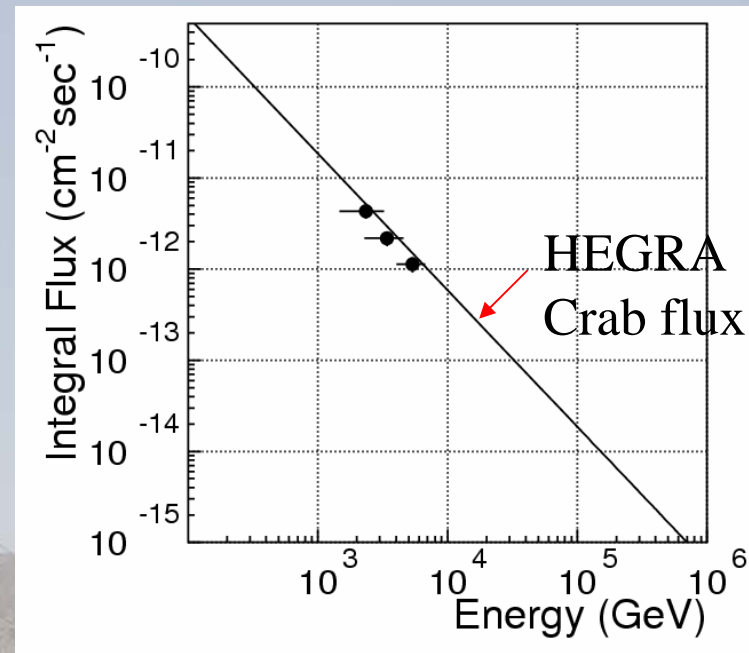
θ^2 distribution

L : 0.9 <



Integral Flux

L : 0.9 <



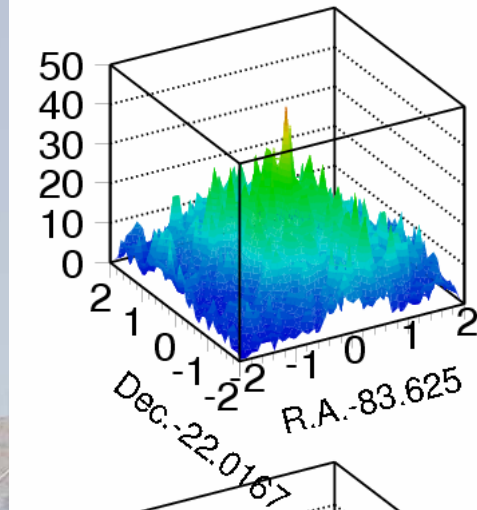
Excess : 123 ± 21 event (@2350GeV)

Significance : 6.0σ

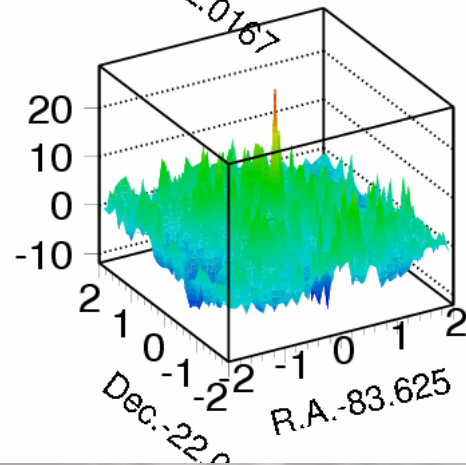
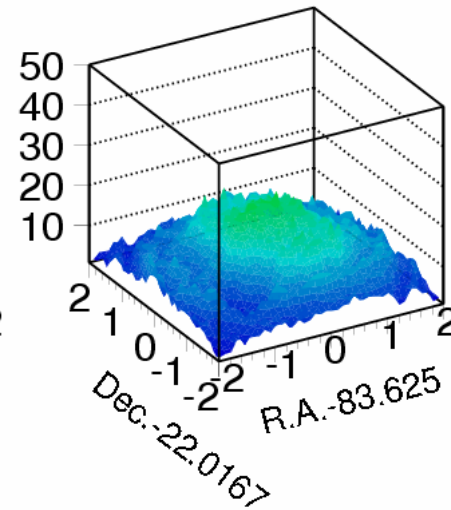
1 Crab : 125 event/840.3 min.

Crab arrival point map

ON
 $L > 0.9$

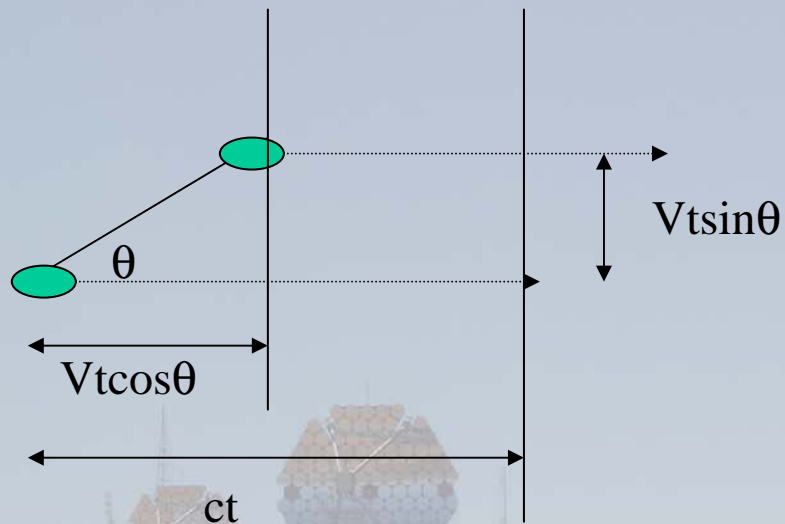


OFF
 $L < 0.2$



ON-OFF

Super luminal motion



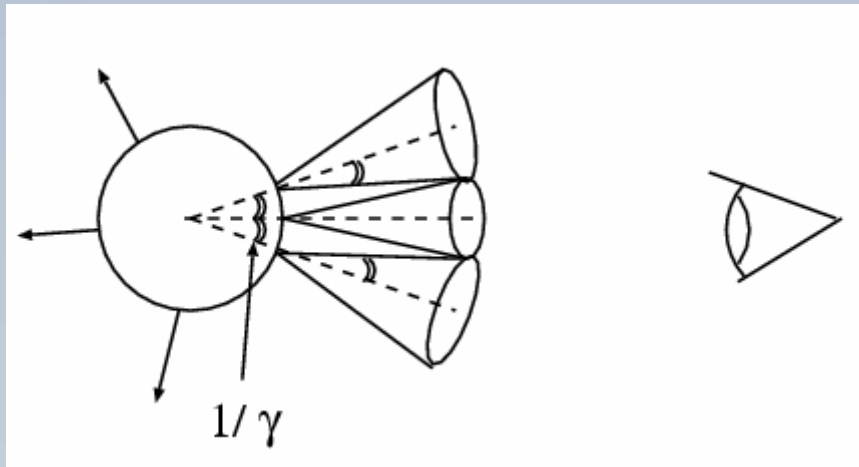
$$\Delta t = \frac{ct - Vt \cos \theta}{c}$$

$$\beta_{app} = \frac{\beta t \sin \theta}{\Delta t} = \frac{\beta \sin \theta}{1 - \beta \cos \theta}$$

Maximum : $\cos \theta = \beta$

Relativistic beaming effect

Define beaming factor



$$\delta = \{\gamma (1 - \beta \cos\theta)\}^{-1}$$

$$\text{Blazer } q \sim 1/\gamma$$
$$\delta \sim \gamma \sim 10$$

- (1) frequency $\Rightarrow v_{\text{obs}} \sim v_{\text{jet}} \delta$
- (2) time $\Rightarrow t_{\text{obs}} \sim t_{\text{jet}} / \delta,$
- (3) Solid angle $\Rightarrow W_{\text{obs}} \sim W_{\text{jet}} / \delta^2$
- (4) luminosity $\propto v t^{-1} \Omega^{-1} \Rightarrow L_{\text{obs}} \sim \delta^4 L_{\text{jet}} \sim 10^4 L_{\text{jet}}$

電子の最大加速エネルギー

磁場が強いので($B \sim 0.1G$)、冷却と加速の釣り合いで決まる

$$\cdot t_{\text{cool}}(\gamma) = \frac{3m_e c}{4 (U_B + U_{\text{sync}} + U_{\text{BLR}}) \sigma_T \gamma} \propto \gamma^{-1}$$

$$\cdot t_{\text{acc}}(\gamma) \propto \gamma^n \quad (n > 0 \text{ の定数})$$

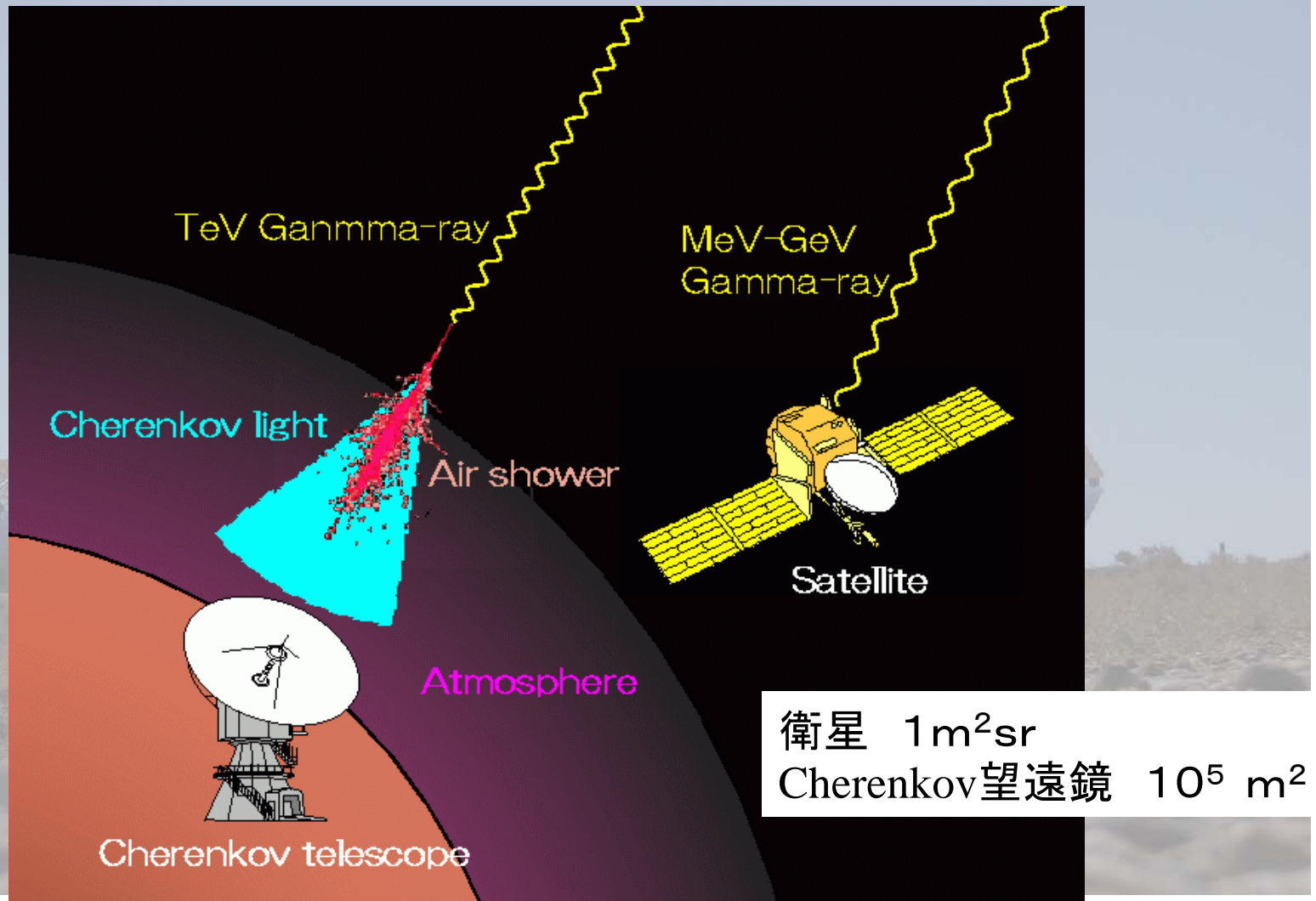
$$\gamma_{\text{max}} \propto (U_B + U_{\text{sync}} + U_{\text{BLR}})^{-1/(n+1)}$$

$$\text{“暗い”レーザー} : \quad \gamma_{\text{max}} = 10^{5-6}$$

$$\text{“明るい”レーザー} : \quad \gamma_{\text{max}} = 10^{2-3}$$

暗い天体のJetほど、加速されている。

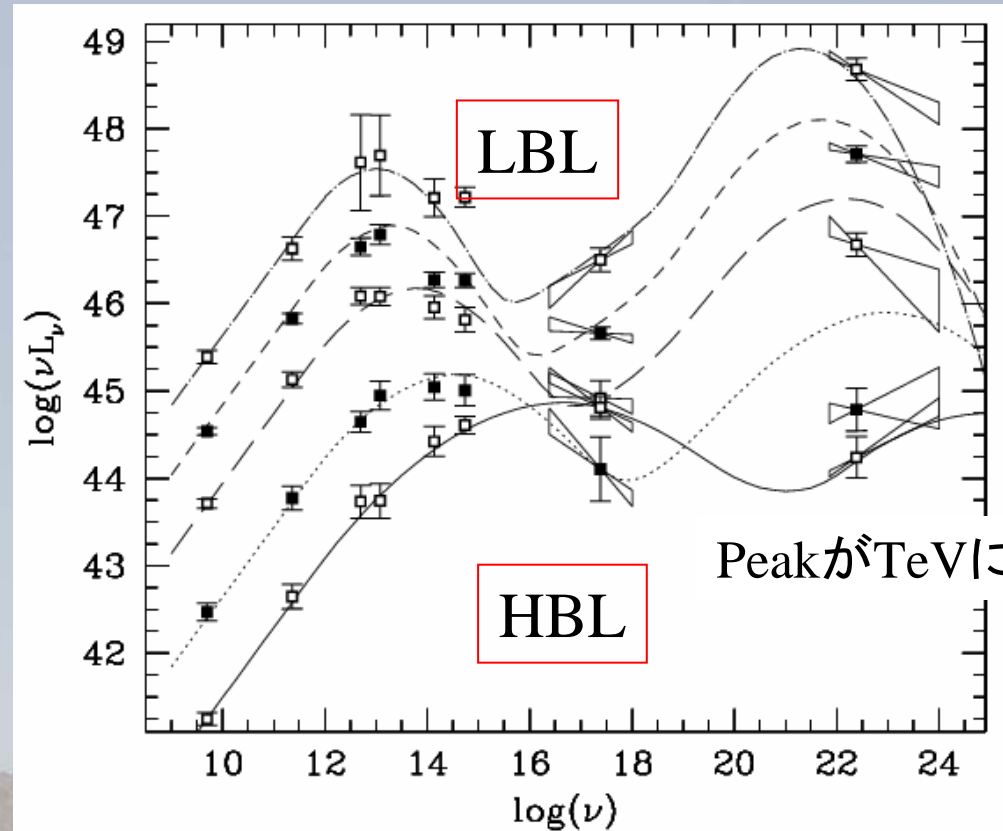
ガンマ線の検出



Synchrotron self-Compton model

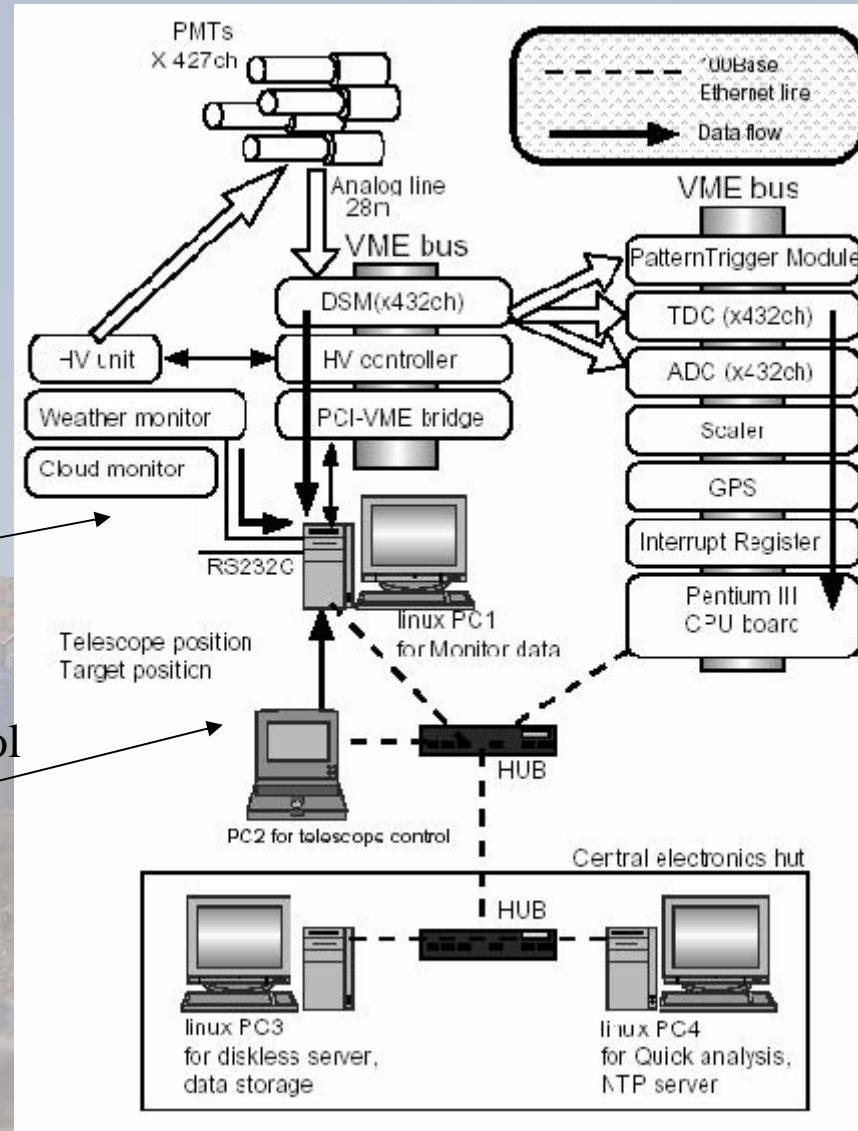
- Double-peaked structure
= synchrotron
+ inverse
Compton
(Synchrotron Self
Compton model)

$$\frac{L_{sync}}{L_{IC}} \sim 1$$



↑
X ray

Electronics



Acquisition of weather monitor data

Telescope control and information

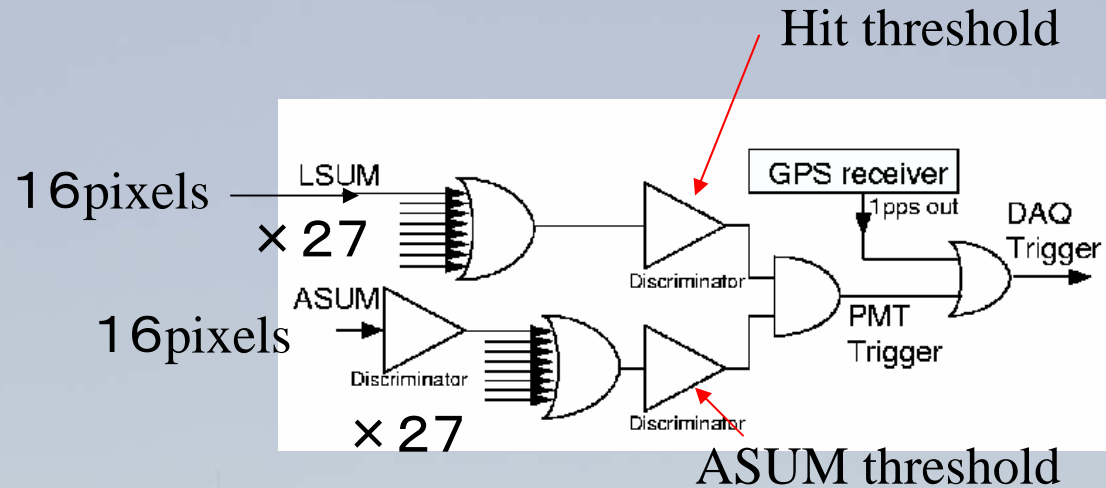
TDC
0.78ns resolution

ADC
gate 100 ns

Scaler
remove NSB

GPS
Acquisition of time information

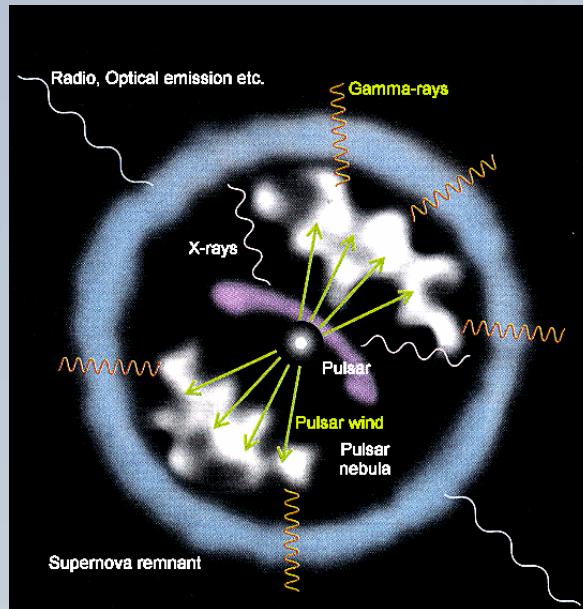
Trigger logic



LSUM threshold を超えた logic 信号のsumが Hit threshold を超えた時、かつ、アナログ信号の 16pixel 分のsumが ASUM threshold を超えた時に DAQ のトリガーがかかるようになっている。

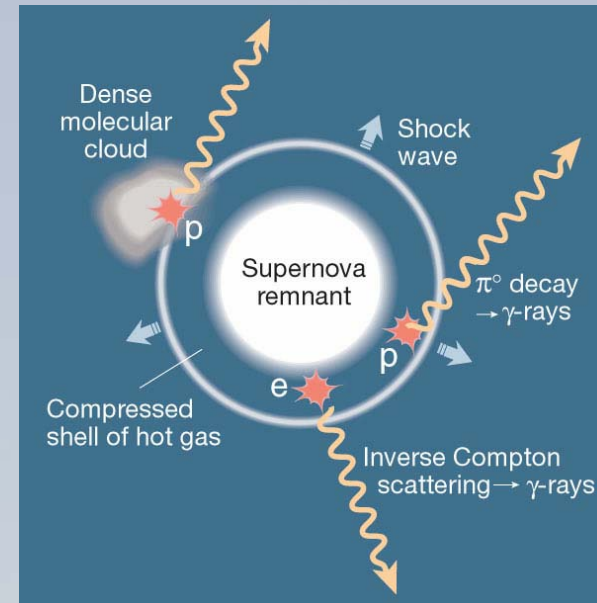
Gamma-ray sources

Pulsar



- Fast rotating magnetized pulsar = power generator
- Energy \Rightarrow Pulsar wind out of light cylinder
- Shock wave in ambient medium \Rightarrow particle acceleration
- Gamma-rays by IC

Supernova remnant



- Expanding blast wave from explosion \Rightarrow shock wave
- Particles accelerated in shock wave
- Interaction with ambient medium
 - $e + B$ (synchrotron)
 - $e + \text{Photons}$ (IC)
 - $p + \text{Gas}$ (π^0) \Rightarrow Gamma-rays
- Cosmic ray origin? (energetics argument)